

**ИЗГИБ ПЬЕЗОКЕРАМИЧЕСКОГО НЕОДНОРОДНОГО СЛОЯ ПРИ СКОЛЬЗЯЩЕЙ ЗАДЕЛКЕ ЕГО ТОРЦОВ**

*Исследуется электроупругое состояние неоднородного пьезокерамического слоя при скользящей заделке его торцов в случае изгиба. Граничная задача сведена к системе, состоящей из  $12k$ ,  $k = 1, 2, \dots$ , интегро-дифференциальных уравнений. Получены выражения для величин, характеризующих напряженное состояние неоднородного слоя. Приведены результаты расчетов напряжений.*

Современные требования по энергосбережению, миниатюризации, адаптивности к компьютерным системам управления и контроля все чаще заставляют производителей техники и оборудования обращаться к производителям пьезокерамики с целью совместного поиска тех или иных технологических решений с помощью пьезокерамики. В результате появляются новые типы пьезокерамики, создаются новые и совершенствуются известные пьезокерамические элементы и компоненты. Таким образом, пьезокерамика благодаря своим уникальным свойствам находит все большее применение в различных областях техники и технологии.

Изучению напряженного состояния трансформного (изотропного) слоя, ослабленного сквозными туннельными отверстиями при скользящей заделке торцов (симметричный случай), посвящены работы [1, 3, 6]. В них решения краевых задач строятся с помощью полуобратного метода И. И. Воровича. Изгиб изотропного слоя (полуслоя), ослабленного сквозным некруговым отверстием, рассмотрен в [4]. Аналогичная задача для изотропного слоя с круговым отверстием иными методами решена в [8, 9]. В работе [5] рассмотрен ряд задач электроупругости для слоя при различных граничных условиях на его основаниях. Общий подход к решению смешанных задач теории упругости и электроупругости для слоя, ослабленного сквозными туннельными неоднородностями, отличный от [6], предложен в [10]. С использованием этого подхода в [11] рассмотрена смешанная кососимметричная задача электроупругости для пьезокерамического слоя, ослабленного сквозным отверстием. Исследованию КИН в окрестности концентраторов напряжений в трехмерной постановке посвящены монографии [2, 7].

В этой работе продолжены исследования сопряженных электромеханических полей в пьезоактивном неоднородном слое при скользящей заделке его торцов и отсутствии на них электростатического потенциала.

**Постановка задачи.** Рассмотрим неоднородный пьезокерамический слой  $-h \leq x_3 \leq h$ ,  $-\infty < x_1, x_2 < \infty$ , в который без предварительного натяжения вклеено или впаяно цилиндрическое включение из другого пьезокерамического материала, ослабленный сквозным отверстием. При этом направляющие цилиндрических поверхностей представляют собой достаточно гладкие замкнутые контуры  $L_j$ ,  $j = 1, 2$ . Для определенности под контуром  $L_1$  будем понимать направляющий контур цилиндрической поверхности, ограничивающей отверстие, а под контуром  $L_2$  – направляющий контур поверхности спая пьезокерамического слоя и включения. Пусть на поверхности отверстия действует поверхностная нагрузка  $(N, T, Z, D_n)$ , где  $N, T, Z$  – нормальная и касательные компоненты вектора напряжения,  $D_n$  – нормальная компонента вектора электрической индукции, а на бесконечности нагрузка отсутствует. Будем считать, что компоненты заданной нагрузки раскладываются в ряды Фурье по координате  $x_3$  на  $[-h, h]$ .

**Основные соотношения.** Полная система уравнений, определяющая решение рассматриваемой задачи (при отсутствии в теле объемных сил и зарядов), состоит из [5]:

– уравнений равновесия (предполагается суммирование по повторяющемуся индексу)

$$\partial_j \sigma_{ij} = 0, \quad \partial_i = \frac{\partial}{\partial x_i}, \quad i, j = 1, 2, 3; \quad (1)$$

– уравнений электростатики

$$\operatorname{div} D = 0, \quad E_i = -\partial_i \varphi, \quad i = 1, 2, 3; \quad (2)$$

– соотношения Коши

$$\varepsilon_{ij} = \frac{1}{2} (\partial_i u_j + \partial_j u_i), \quad i, j = 1, 2, 3; \quad (3)$$

– уравнений состояния предварительно поляризованной в направлении оси  $Ox_3$  пьезокерамики

$$\begin{aligned} \sigma_{11} &= c_{11}\varepsilon_{11} + c_{12}\varepsilon_{22} + c_{13}\varepsilon_{33} - e_{31}E_3, & \tau_{23} &= 2c_{44}\varepsilon_{23} - e_{15}E_2, \\ \sigma_{22} &= c_{12}\varepsilon_{11} + c_{11}\varepsilon_{22} + c_{13}\varepsilon_{33} - e_{31}E_3, & \tau_{13} &= 2c_{44}\varepsilon_{13} - e_{15}E_1, \\ \sigma_{33} &= c_{13}(\varepsilon_{11} + \varepsilon_{22}) + c_{33}\varepsilon_{33} - e_{33}E_3, & \tau_{12} &= (c_{11} - c_{12})\varepsilon_{12}, \\ D_1 &= \varepsilon_{11}^S E_1 + 2e_{15}\varepsilon_{13}, & D_2 &= \varepsilon_{11}^S E_2 + 2e_{15}\varepsilon_{23}, \\ D_3 &= \varepsilon_{33}^S E_3 + e_{31}(\varepsilon_{11} + \varepsilon_{22}) + e_{33}\varepsilon_{33}. \end{aligned} \quad (4)$$

Систему (1)–(4) нужно решать при граничных условиях на торцах слоя  $x_3 = \pm h$ :

$$u_3(x_1, x_2, \pm h) = \sigma_{13}(x_1, x_2, \pm h) = \sigma_{23}(x_1, x_2, \pm h) = \varphi(x_1, x_2, \pm h) = 0 \quad (5)$$

и условиях контакта на границе раздела сред.

В дальнейшем в качестве исходной целесообразно использовать систему уравнений равновесия среды в перемещениях, которую можно получить из соотношений (1)–(4):

$$\begin{aligned} V \nabla^2 u_1 + c_{44} \partial_3^2 u_1 + \partial_1 \theta &= 0, & V \nabla^2 u_2 + c_{44} \partial_3^2 u_2 + \partial_2 \theta &= 0, \\ c_{44} \nabla^2 u_3 + c_{33} \partial_3^2 u_3 + \partial_3 \{c(\partial_1 u_1 + \partial_2 u_2) + e_{15} \nabla^2 \varphi + e_{33} \partial_3^2 \varphi\} &= 0, \\ \varepsilon_{11} \nabla^2 \varphi + \varepsilon_{33} \partial_3^2 \varphi - e_{15} \nabla^2 u_3 - e_{33} \partial_3^2 u_3 - \partial_3 \{e(\partial_1 u_1 + \partial_2 u_2)\} &= 0, \end{aligned} \quad (6)$$

где

$$\begin{aligned} \nabla^2 &= \partial_1^2 + \partial_2^2, & \theta &= U(\partial_1 u_1 + \partial_2 u_2) + c \partial_3 u_3 + e \partial_3 \varphi, \\ U &= \frac{1}{2}(c_{11} + c_{12}), & V &= \frac{1}{2}(c_{11} - c_{12}), & c &= c_{13} + c_{44}, & e &= e_{15} + e_{31}. \end{aligned}$$

Будем определять кососимметричное относительно срединной плоскости слоя  $x_3 = 0$  решение. Представим компоненты вектора перемещения и потенциал в виде

$$\{u_1, u_2\} = \sum_{k=0}^{\infty} \{u_{1k}, u_{2k}\} \sin \gamma_k x_3, \quad \{u_3, \varphi\} = \sum_{k=0}^{\infty} \{u_{3k}, \varphi_k\} \cos \gamma_k x_3, \quad (7)$$

здесь  $\gamma_k = \frac{2k+1}{2h} \pi$ .

Представления (7) компонентов вектора перемещения автоматически удовлетворяют условиям (5) на торцах слоя. С учетом этих соотношений из

(6) можно получить

$$\begin{aligned} Vx_k u_{1k} + \partial_1 \theta_k &= 0, & Vx_k u_{2k} + \partial_2 \theta_k &= 0, \\ L_{13} u_{3k} + L_{14} \varphi_k + \frac{c}{U} \gamma_k \theta_k &= 0, & L_{23} u_{3k} + L_{24} \varphi_k + \frac{e}{U} \gamma_k \theta_k &= 0, \end{aligned} \quad (8)$$

где

$$\begin{aligned} x_k &= \nabla^2 - \gamma_k^2 \mu_0^2, & L_{13} &= c_{44} \nabla^2 - \gamma_k^2 \delta_1, & \mu_0^2 &= \frac{c_{44}}{V}, \\ L_{14} &= L_{23} = e_{15} \nabla^2 - \gamma_k^2 \delta_2, & L_{24} &= \gamma_k^2 \delta_3 - \varepsilon_{11} \nabla^2, \\ \theta_k &= U(\partial_1 u_{1k} + \partial_2 u_{2k}) + \gamma_k c u_{3k} + \gamma_k e \varphi_k, \\ \delta_1 &= c_{33} - \frac{c^2}{U}, & \delta_2 &= e_{33} - \frac{ce}{U}, & \delta_3 &= \varepsilon_{33} + \frac{e^2}{U}. \end{aligned}$$

Интегрируя систему (8), находим

$$\begin{aligned} u_{1k} - i u_{2k} &= 2 \sum_{m=1}^3 A_k^{(m)} \partial_z \Omega_k^{(m)} + 2i \partial_z \Omega_k^{(0)}, \\ u_{3k} &= \sum_{m=1}^3 B_k^{(m)} \Omega_k^{(m)}, & \varphi_k &= \sum_{m=1}^3 D_k^{(m)} \Omega_k^{(m)}, & k &= 0, 1, 2, \dots \end{aligned} \quad (9)$$

Здесь

$$\begin{aligned} A_k^{(m)} &= \frac{\gamma_k U p_4^*(\mu_m)}{V(\mu_m^2 - \mu_0^2)}, & B_k^{(m)} &= \gamma_k^2 (d_2 \mu_m^2 - \delta_5), \\ D_k^{(m)} &= \gamma_k^2 (\delta_4 - d_1 \mu_m^2), & m &= 1, 2, 3, \\ \delta_4 &= \frac{\delta_1}{c} - \frac{\delta_2}{e}, & \delta_5 &= \frac{\delta_2}{c} + \frac{\delta_3}{e}, & d_1 &= \frac{c_{44}}{c} - \frac{e_{15}}{e}, & d_2 &= \frac{e_{15}}{c} + \frac{\varepsilon_{11}^S}{e}. \end{aligned}$$

Функции  $\Omega_k^{(m)}$  – произвольное решение уравнения Гельмгольца  $(\nabla^2 - \gamma_k^2 \mu_m^2) \Omega_k^{(m)} = 0$ ,  $m = 0, 1, 2, 3$ ;  $\mu_m$ ,  $m = 1, 2, 3$ , – корни бикубического уравнения [11]. В дальнейшем индекс «1» придадим величинам, описывающим напряженно-деформируемое состояние слоя, а индекс «2» – включения.

**Интегральные представления.** Метатармонические функции, содержащиеся в (9), разыскиваем в виде

$$\begin{aligned} \Omega_{1k}^{(m)} &= \int_{L_1} p_{1k}^{(m)}(\zeta_1) K_0(\gamma_k \mu_1^{(m)} r_{11}) ds_1 + \int_{L_2} \tilde{p}_{1k}^{(m)}(\zeta_2) K_0(\gamma_k \mu_1^{(m)} r_{12}) ds_2, \\ \Omega_{2k}^{(m)} &= \int_{L_2} p_{2k}^{(m)}(\zeta_2) K_0(\gamma_k \mu_2^{(m)} r_{22}) ds_2, & m &= 0, 1, 2, 3. \end{aligned} \quad (10)$$

Здесь

$$\begin{aligned} r_{11} &= |\zeta_1 - z^{(1)}|, & r_{12} &= |\zeta_2 - z^{(1)}|, & r_{22} &= |\zeta_2 - z^{(2)}|, \\ z^{(1)} &= x_{11} + i x_{12}, & z^{(2)} &= x_{21} + i x_{22}, \\ \zeta_1 &= \xi_{11} + i \xi_{12} \in L_1, & \zeta_2 &= \xi_{21} + i \xi_{22} \in L_2, \end{aligned}$$

$K_n(z)$  – функция Макдональда  $n$ -го порядка;  $ds_j$  – элемент дуги контура  $L_j$ ,  $j = 1, 2$ ;  $p_{1k}^{(m)}(\zeta_1)$ ,  $\tilde{p}_{1k}^{(m)}(\zeta_2)$ ,  $p_{2k}^{(m)}(\zeta_2)$ ,  $m = 0, 1, 2, 3$ , – неизвестные плотности, причем  $p_{1k}^{(3)} = \bar{p}_{1k}^{(2)}$ ,  $\tilde{p}_{1k}^{(3)} = \tilde{\bar{p}}_{1k}^{(2)}$ ,  $p_{2k}^{(3)} = \bar{p}_{2k}^{(2)}$ .

Будем предполагать, что для компонентов вектора напряжений и нормальной компоненты вектора электрической индукции, действующих на поверхности отверстия, справедливы разложения

$$\begin{aligned} N &= \sum_{k=0}^{\infty} N_k \sin \gamma_k x_3, & T &= \sum_{k=0}^{\infty} T_k \sin \gamma_k x_3, \\ Z &= \sum_{k=0}^{\infty} Z_k \cos \gamma_k x_3, & D_n &= \sum_{k=0}^{\infty} D_n^{(k)} \cos \gamma_k x_3. \end{aligned} \quad (11)$$

Граничные условия на  $L$  в комплексной форме имеют вид

$$\begin{aligned} (\sigma_{11} + \sigma_{22}) - e^{2i\psi} (\sigma_{22} - \sigma_{11} + 2i\sigma_{12}) &= 2(N - iT), \\ \operatorname{Re} \{ e^{-i\psi} (\sigma_{13} + i\sigma_{23}) \} &= Z, \quad D_n = 0, \end{aligned} \quad (12)$$

где  $\psi$  – угол между внешней нормалью к поверхности отверстия и осью  $Ox_1$ .

Условия сопряжения на границе раздела слоя и включения имеют вид

$$\begin{aligned} N_1 - iT_1 &= N_2 - iT_2, & u_{11} - iu_{21} &= u_{12} - iu_{22}, \\ u_{31} &= u_{32}, & Z_1 &= Z_2, & E_{1s} &= E_{2s}, & D_{1n} &= D_{2n}. \end{aligned} \quad (13)$$

Для компонентов вектора напряжения, нормальной компоненты вектора электрической индукции и касательной компоненты вектора электрической напряженности с учетом (2)–(4), (9) и (10)–(12) получаем выражения

$$\begin{aligned} 2(N_k - iT_k) &= \sum_{m=1}^3 S_k^{(m)} \Omega_k^{(m)} + \sigma_0 \sum_{m=0}^3 \tilde{A}_k^{(m)} \partial_{zz}^2 \Omega_k^{(m)}, \\ Z_k &= \operatorname{Re} \left\{ e^{i\psi_0} \sum_{m=0}^3 \tilde{B}_k^{(m)} \partial_z \Omega_k^{(m)} \right\}, & D_n^{(k)} &= \operatorname{Re} \left\{ e^{i\psi_0} \sum_{m=0}^3 F_k^{(m)} \partial_z \Omega_k^{(m)} \right\}, \\ E_s^{(k)} &= -2 \operatorname{Re} \left\{ ie^{i\psi_0} \sum_{m=1}^3 D_k^{(m)} \partial_z \Omega_k^{(m)} \right\}, \end{aligned} \quad (14)$$

где

$$\begin{aligned} \tilde{A}_k^{(0)} &= -8iV, & \tilde{B}_k^{(0)} &= 2ic_{44}\gamma_k, & F_k^{(0)} &= ie_{15}\gamma_k, & \sigma_0 &= -e^{2i\psi}, \\ S_k^{(m)} &= 2UA_k^{(m)} \mu_k^{(m)2} - 2c_{13}\gamma_k B_k^{(m)} - 2e_{31}\gamma_k D_k^{(m)}, \\ \tilde{A}_k^{(m)} &= -8VA_k^{(m)}, & \tilde{B}_k^{(m)} &= 2c_{44}\gamma_k A_k^{(m)} + 2c_{44}B_k^{(m)} + 2e_{15}D_k^{(m)}, \\ F_k^{(m)} &= -\varepsilon_{11}^S D_k^{(m)} + e_{15}B_k^{(m)} + e_{15}\gamma_k A_k^{(m)}, & m &= 1, 2, 3. \end{aligned}$$

Граничная задача (12), (13) с учетом представлений (10) и выражений (14) предельным переходом на  $L_1$  и  $L_2$  сводится к системе, состоящей из двенадцати сингулярных интегро-дифференциальных уравнений (при каждом фиксированном  $k$ ):

$$\begin{aligned} \sum_{n=0}^3 \left[ -q_{1k}^{(n)} g_{\ell 1k}^{(n)} + \sum_{j=1}^2 \int_{L_j} q_{jk}^{(n)} G_{\ell jk}^{(n)} ds_j \right] &= 0, & \ell &= 1, 2, \\ \sum_{n=0}^3 \left[ \sum_{j=1}^2 \left( -q_{j+1,k}^{(n)} g_{\ell jk}^{(n)} + \int_{L_j} q_{jk}^{(n)} G_{\ell jk}^{(n)} ds_j \right) - \int_{L_2} q_{3k}^{(n)} G_{\ell 3k}^{(n)} ds_2 \right] &= 0, & \ell &= 3, \dots, 6, \\ \sum_{n=0}^3 \left[ -q_{1k}^{(n)} g_{7k}^{(n)} - \tilde{g}_{7k}^{(n)} \frac{dq_{1k}^{(n)}}{ds_{01}} + \sum_{j=1}^2 \left( \int_{L_j} q_{jk}^{(n)} G_{7jk}^{(n)} ds_j + \int_{L_j} \frac{dq_{jk}^{(n)}}{ds_j} \tilde{G}_{7jk}^{(n)} ds_j \right) \right] &= \\ &= N_{1k} - iT_{1k}, \end{aligned}$$

$$\begin{aligned}
& \sum_{n=0}^3 \left[ \sum_{j=1}^2 \left( -q_{j+1,k}^{(n)} g_{8jk}^{(n)} - \tilde{g}_{8jk}^{(n)} \frac{dq_{j+1,k}^{(n)}}{ds_{02}} + \int_{L_j} q_{jk}^{(n)} G_{8jk}^{(n)} ds_j + \int_{L_j} \frac{dq_{jk}^{(n)}}{ds_j} \tilde{G}_{8jk}^{(n)} ds_j \right) - \right. \\
& \quad \left. - \int_{L_2} q_{3k}^{(n)} G_{83k}^{(n)} ds_2 - \int_{L_2} \frac{dq_{3k}^{(n)}}{ds_2} \tilde{G}_{83k}^{(n)} ds_2 \right] = 0, \\
& \sum_{n=1}^3 \left[ \sum_{j=1}^2 \int_{L_j} q_{jk}^{(n)} G_{9jk}^{(n)} ds_j + \int_{L_2} q_{3k}^{(n)} G_{93k}^{(n)} ds_2 \right] = 0, \tag{15}
\end{aligned}$$

где

$$\begin{aligned}
g_{11k}^{(n)} &= \operatorname{Re} \{ e^{i\psi_{01}} l_4(\psi_{01}) \tilde{B}_{1k}^{(n)} \}, & g_{21k}^{(n)} &= \operatorname{Re} \{ e^{i\psi_{01}} l_4(\psi_{01}) F_{1k}^{(n)} \}, \\
g_{3jk}^{(n)} &= 2l_4(\psi_{02}) A_{jk}^{(n)}, & g_{4jk}^{(n)} &= \operatorname{Re} \{ e^{i\psi_{02}} l_4(\psi_{02}) \tilde{B}_{jk}^{(n)} \}, \\
g_{5jk}^{(n)} &= \operatorname{Re} \{ e^{i\psi_{02}} l_4(\psi_{02}) F_{jk}^{(n)} \}, & \{g_{7k}^{(n)}, \tilde{g}_{7k}^{(n)}\} &= \sigma_{01} \tilde{A}_{1k}^{(n)} \{l_6(\psi_{01}), l_5(\psi_{01})\}, \\
\{g_{8jk}^{(n)}, \tilde{g}_{8jk}^{(n)}\} &= \sigma_{02} \tilde{A}_{jk}^{(n)} \{l_6(\psi_{01}), l_5(\psi_{01})\}, & n &= 0, 1, \\
g_{11k}^{(2)} &= \operatorname{Re} \{ e^{i\psi_{01}} l_4(\psi_{01}) (\tilde{B}_{1k}^{(2)} + \tilde{B}_{1k}^{(3)}) \}, \\
g_{11k}^{(3)} &= \operatorname{Re} \{ ie^{i\psi_{01}} l_4(\psi_{01}) (\tilde{B}_{1k}^{(2)} - \tilde{B}_{1k}^{(3)}) \}, \\
g_{21k}^{(2)} &= \operatorname{Re} \{ e^{i\psi_{01}} l_4(\psi_{01}) (F_{1k}^{(2)} + F_{1k}^{(3)}) \}, \\
g_{21k}^{(3)} &= \operatorname{Re} \{ ie^{i\psi_{01}} l_4(\psi_{01}) (F_{1k}^{(2)} - F_{1k}^{(3)}) \}, \\
\{g_{7k}^{(2)}, \tilde{g}_{7k}^{(2)}\} &= \sigma_{01} (\tilde{A}_{1k}^{(2)} + \tilde{A}_{1k}^{(3)}) \{l_6(\psi_{01}), l_5(\psi_{01})\}, \\
\{g_{7k}^{(3)}, \tilde{g}_{7k}^{(3)}\} &= i\sigma_{01} (\tilde{A}_{1k}^{(2)} - \tilde{A}_{1k}^{(3)}) \{l_6(\psi_{01}), l_5(\psi_{01})\}, \\
g_{3jk}^{(2)} &= 2l_4(\psi_{02}) (A_{jk}^{(2)} + A_{jk}^{(3)}), & g_{4jk}^{(2)} &= \operatorname{Re} \{ e^{i\psi_{02}} l_4(\psi_{02}) (\tilde{B}_{jk}^{(2)} + \tilde{B}_{jk}^{(3)}) \}, \\
g_{3jk}^{(3)} &= 2il_4(\psi_{02}) (A_{jk}^{(2)} - A_{jk}^{(3)}), & g_{4jk}^{(3)} &= \operatorname{Re} \{ ie^{i\psi_{02}} l_4(\psi_{02}) (\tilde{B}_{jk}^{(2)} - \tilde{B}_{jk}^{(3)}) \}, \\
g_{5jk}^{(2)} &= \operatorname{Re} \{ e^{i\psi_{02}} l_4(\psi_{02}) (F_{jk}^{(2)} + F_{jk}^{(3)}) \}, \\
g_{5jk}^{(3)} &= \operatorname{Re} \{ ie^{i\psi_{02}} l_4(\psi_{02}) (F_{jk}^{(2)} - F_{jk}^{(3)}) \}, \\
g_{6jk}^{(1)} &= \operatorname{Re} \{ ie^{i\psi_{02}} l_4(\psi_{02}) D_{jk}^{(1)} \}, & g_{6jk}^{(2)} &= \operatorname{Re} \{ ie^{i\psi_{02}} l_4(\psi_{02}) (D_{jk}^{(2)} + D_{jk}^{(3)}) \}, \\
g_{6jk}^{(3)} &= -\operatorname{Re} \{ e^{i\psi_{02}} l_4(\psi_{02}) (D_{jk}^{(2)} - D_{jk}^{(3)}) \}, \\
\{g_{8jk}^{(2)}, \tilde{g}_{8jk}^{(2)}\} &= \sigma_{02} (\tilde{A}_{jk}^{(2)} + \tilde{A}_{jk}^{(3)}) \{l_6(\psi_{01}), l_5(\psi_{01})\}, \\
\{g_{8jk}^{(3)}, \tilde{g}_{8jk}^{(3)}\} &= i\sigma_{02} (\tilde{A}_{jk}^{(2)} - \tilde{A}_{jk}^{(3)}) \{l_6(\psi_{01}), l_5(\psi_{01})\}, \\
G_{1jk}^{(n)} &= \operatorname{Re} \{ e^{i\psi_{01}} \tilde{B}_{1k}^{(n)} L_6(\mu_{1k}^{(n)} r_{j10}) \}, \\
G_{2jk}^{(n)} &= \operatorname{Re} \{ e^{i\psi_{01}} F_{1k}^{(n)} L_6(\mu_{1k}^{(n)} r_{j10}) \}, & n &= 0, 1, \\
G_{1jk}^{(2)} &= \operatorname{Re} \{ e^{i\psi_{01}} [\tilde{B}_{1k}^{(2)} L_6(\mu_{1k}^{(2)} r_{j10}) + \tilde{B}_{1k}^{(3)} L_6(\mu_{1k}^{(3)} r_{j10})] \}, \\
G_{1jk}^{(3)} &= \operatorname{Re} \{ ie^{i\psi_{01}} [\tilde{B}_{1k}^{(2)} L_6(\mu_{1k}^{(2)} r_{j10}) - \tilde{B}_{1k}^{(3)} L_6(\mu_{1k}^{(3)} r_{j10})] \}, \\
G_{2jk}^{(2)} &= \operatorname{Re} \{ e^{i\psi_{01}} [F_{1k}^{(2)} L_6(\mu_{1k}^{(2)} r_{j10}) + F_{1k}^{(3)} L_6(\mu_{1k}^{(3)} r_{j10})] \}, \\
G_{2jk}^{(3)} &= \operatorname{Re} \{ ie^{i\psi_{01}} [F_{1k}^{(2)} L_6(\mu_{1k}^{(2)} r_{j10}) - F_{1k}^{(3)} L_6(\mu_{1k}^{(3)} r_{j10})] \}, \\
H_{3j}^{(n)} &= 2A_{1k}^{(n)} L_6(\mu_{1k}^{(n)} r_{j20}), & H_{33}^{(n)} &= 2A_{2k}^{(n)} L_6(\mu_{2k}^{(n)} r_{220}), \\
H_{4j}^{(n)} &= e^{i\psi_{02}} \tilde{B}_{1k}^{(n)} L_6(\mu_{1k}^{(n)} r_{j20}), & H_{43}^{(n)} &= e^{i\psi_{02}} \tilde{B}_{2k}^{(n)} L_6(\mu_{2k}^{(n)} r_{220}),
\end{aligned}$$

$$\begin{aligned}
H_{5j}^{(n)} &= e^{i\psi_{02}} F_{1k}^{(n)} L_6(\mu_{1k}^{(n)} r_{j20}), & H_{53}^{(n)} &= e^{i\psi_{02}} F_{2k}^{(n)} L_6(\mu_{2k}^{(n)} r_{220}), \\
H_{7j}^{(n)} &= \sigma_{01} \tilde{A}_{1k}^{(n)} L_7(\mu_{1k}^{(n)} r_{j10}) + S_{1k}^{(n)} K_0(\mu_{1k}^{(n)} r_{j10}), & \tilde{H}_{7j}^{(n)} &= \sigma_{01} \tilde{A}_{1k}^{(n)} L_8(\mu_{1k}^{(n)} r_{j10}), \\
H_{8j}^{(n)} &= \sigma_{02} \tilde{A}_{1k}^{(n)} L_7(\mu_{1k}^{(n)} r_{j20}) + S_{1k}^{(n)} K_0(\mu_{1k}^{(n)} r_{j20}), \\
H_{83}^{(n)} &= \sigma_{02} \tilde{A}_{2k}^{(n)} L_7(\mu_{2k}^{(n)} r_{220}) + S_{2k}^{(n)} K_0(\mu_{2k}^{(n)} r_{220}), \\
\tilde{H}_{8j}^{(n)} &= \sigma_{02} \tilde{A}_{1k}^{(n)} L_8(\mu_{1k}^{(n)} r_{j20}), & \tilde{H}_{83}^{(n)} &= \sigma_{02} \tilde{A}_{2k}^{(n)} L_8(\mu_{2k}^{(n)} r_{220}), \quad n = 0, 1, 2, 3, \\
H_{6j}^{(n)} &= ie^{i\psi_{02}} D_{1k}^{(n)} L_6(\mu_{1k}^{(n)} r_{j20}), & H_{9j}^{(n)} &= B_{1k}^{(n)} K_0(\mu_{1k}^{(n)} r_{j20}), \quad j = 1, 2, \\
H_{63}^{(n)} &= ie^{i\psi_{02}} D_{2k}^{(n)} L_6(\mu_{2k}^{(n)} r_{220}), & H_{93}^{(n)} &= B_{2k}^{(n)} K_0(\mu_{2k}^{(n)} r_{220}), \quad n = 1, 2, 3, \\
G_{\ell tk}^{(n)} &= H_{\ell t}^{(n)}, & G_{\ell tk}^{(2)} &= \operatorname{Re} \{H_{\ell t}^{(2)} + H_{\ell t}^{(3)}\}, \\
G_{\ell tk}^{(3)} &= \operatorname{Re} \{i(H_{\ell t}^{(2)} - H_{\ell t}^{(3)})\}, & \ell &= 4, 5, 6, \\
G_{\ell tk}^{(n)} &= H_{\ell t}^{(n)}, \quad G_{\ell tk}^{(2)} = H_{\ell t}^{(2)} + H_{\ell t}^{(3)}, & G_{\ell tk}^{(3)} &= i(H_{\ell t}^{(2)} - H_{\ell t}^{(3)}), \quad \ell = 3, 7, 8, 9, \\
\tilde{G}_{\ell tk}^{(n)} &= \tilde{H}_{\ell t}^{(n)}, \quad \tilde{G}_{\ell tk}^{(2)} = \tilde{H}_{\ell t}^{(2)} + \tilde{H}_{\ell t}^{(3)}, \\
\tilde{G}_{\ell tk}^{(3)} &= i(\tilde{H}_{\ell t}^{(2)} - \tilde{H}_{\ell t}^{(3)}), \quad t = 1, 2, 3, \quad \ell = 7, 8, \\
l_4(\psi_0) &= -\frac{\pi e^{-i\psi_0}}{2}, \quad l_5(\psi_0) = -\frac{\pi i e^{-2i\psi_0}}{2}, \quad l_6(\psi_0) = -\frac{\pi e^{-2i\psi_0} \tilde{k}_0}{2}, \quad n = 0, 1, \\
L_6(\gamma r) &= -\frac{\gamma}{2} e^{-i\alpha_0} K_1(\gamma r), \quad L_7(\gamma r) = \frac{\gamma^2}{4} e^{-2i\alpha_0} K_2^*(\gamma r) - \frac{e^{-i\psi} \tilde{k}}{2(\zeta - \zeta_0)}, \\
L_8 &= -\frac{ie^{-i\psi}}{2(\zeta - \zeta_0)}, \quad \tilde{k}_0 = \frac{d\psi_0}{ds_0}, \quad \tilde{k} = \frac{d\psi}{ds}.
\end{aligned}$$

Неизвестные плотности в системе (15) связаны с плотностями интегральных представлений (10) следующими соотношениями:

$$\begin{aligned}
q_{1k}^{(n)} &= p_{1k}^{(n)}, & q_{2k}^{(n)} &= \tilde{p}_{1k}^{(n)}, & q_{3k}^{(n)} &= p_{2k}^{(n)}, \quad n = 0, 1, \\
p_{1k}^{(2)} &= q_{1k}^{(2)} + iq_{1k}^{(3)}, & \tilde{p}_{1k}^{(2)} &= q_{2k}^{(2)} + iq_{2k}^{(3)}, & p_{2k}^{(2)} &= q_{3k}^{(2)} + iq_{3k}^{(3)}.
\end{aligned}$$

**Результаты численного исследования.** В качестве примера рассмотрим неоднородный пьезокерамический слой, изготовленный из материала PZT-4, включение которого изготовлено из материала РХЕ-5.

Направляющие цилиндрических поверхностей могут быть выбраны в виде эллипса (круга):

– для сквозного отверстия

$$L_1: \quad \xi_{11} = R_{11} \cos \varphi_1 + d_{11}, \quad \xi_{12} = R_{12} \cos \varphi_1 + d_{12}, \quad 0 \leq \varphi_1 \leq 2\pi;$$

– для включения

$$L_2: \quad \xi_{21} = R_{21} \cos \varphi_2 + d_{21}, \quad \xi_{22} = R_{22} \cos \varphi_2 + d_{22}, \quad 0 \leq \varphi_2 \leq 2\pi.$$

Пусть на поверхности отверстия действует нагрузка  $N_1 = -Px_3$ ,  $P = \text{const}$ .

При численной реализации алгоритма система интегро-дифференциальных уравнений методом механических квадратур сводена к системе линейных алгебраических уравнений.

Для характеристики напряженного состояния на границе раздела материалов и на контуре отверстия производили расчет напряжения

$$\sigma_{\theta\theta} = \sigma_{11} \sin^2 \theta + \sigma_{22} \cos^2 \theta - 2\sigma_{12} \cos \theta \sin \theta, \quad (16)$$

причем со стороны пьезокерамического слоя  $\theta = \psi - \pi$ , а со стороны включения  $\theta = \psi$ .

Последовательность вычислений такова: сначала численно решали систему интегро-дифференциальных уравнений (15), после чего определяли коэффициенты Фурье компонент тензора напряжений  $\sigma_{ij}^{(k)}$ , а затем по формулам (16) рассчитывали искомые напряжения на границе раздела материалов со стороны включения и со стороны пьезокерамического слоя, а также на поверхности сквозного отверстия.

Пусть для определенности контур  $L_1$  находится справа от оси  $Ox_1$ , а контур  $L_2$  – слева. Обозначим через  $l_x$  расстояние между центрами отверстия и включения в случае, когда их центры расположены на оси  $Ox_1$ :  $l_x = |d_{11}| + |d_{21}|$  ( $d_{12} = d_{22} = 0$ ).

На рис. 1–8 приведены эпюры распределения относительного окружного напряжения  $\sigma_{\theta\theta}/P$  в случае, когда радиусы сквозного отверстия и включения равны единице ( $R_{11} = R_{12} = R_{21} = R_{22} = R = 1$ ) при  $h = 2$  (рис. 1–4) и при  $h = 4$  (рис. 5–8).

На рис. 1, 5 приведены эпюры распределения относительного окружного напряжения  $\sigma_{\theta\theta}/P$  вдоль «толщинной» координаты для отверстия в точке  $\varphi_1 = \pi$ . Кривые 1–4 соответствуют значениям  $l_x/R = 2.25, 2.75, 3.5, 5.0$ . Точками вдоль кривой 4 нанесены результаты точного решения, полученного методом рядов для слоя, ослабленного одним сквозным круговым отверстием.

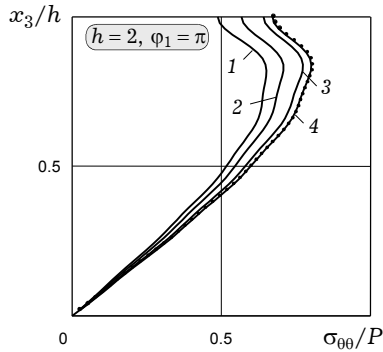


Рис. 1

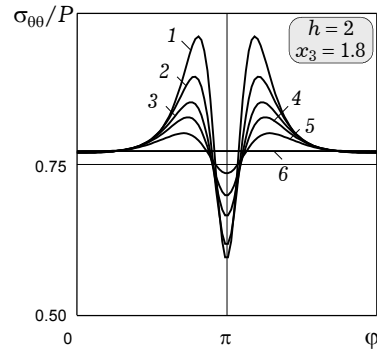


Рис. 2

На рис. 2, 6 приведены эпюры распределения относительного окружного напряжения  $\sigma_{\theta\theta}/P$  по контуру, ограничивающему отверстие в плоскости  $x_3 = 1.8$  (рис. 2) и  $x_3 = 3.8$  (рис. 6). Кривые 1–6 соответствуют значениям  $l_x/R = 2.25, 2.5, 2.75, 3.00, 3.50, 12.00$ .

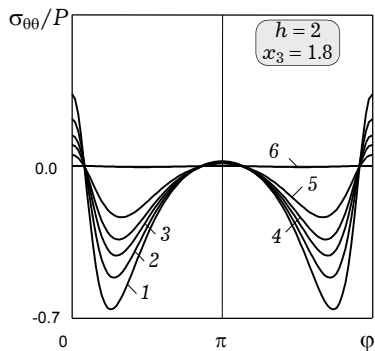


Рис. 3

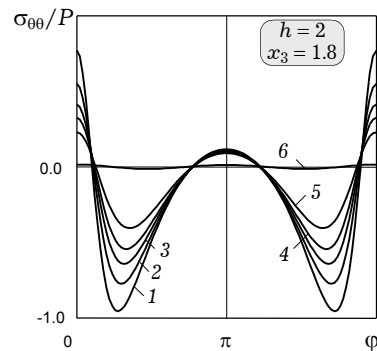


Рис. 4

На рис. 3, 4, 7, 8 приведены эпюры распределения относительного окружного напряжения  $\sigma_{\theta\theta}/P$  по контуру, ограничивающему включение в плоскости  $x_3 = 1.8$  (рис. 3, 4) и  $x_3 = 3.8$  (рис. 7, 8) со стороны включения (рис. 3, 7) и со стороны слоя (рис. 4, 8). Кривые 1–6 на рис. 3, 4, 7, 8 соответствуют значениям  $l_x/R = 2.25, 2.5, 2.75, 3.00, 3.50, 17.00$ .

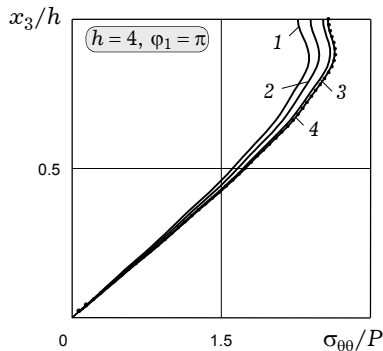


Рис. 5

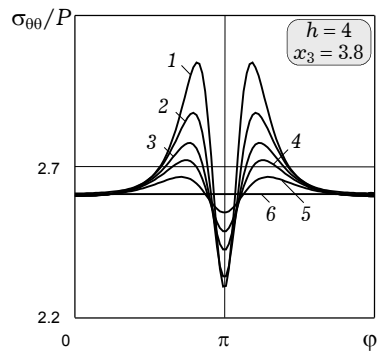


Рис. 6

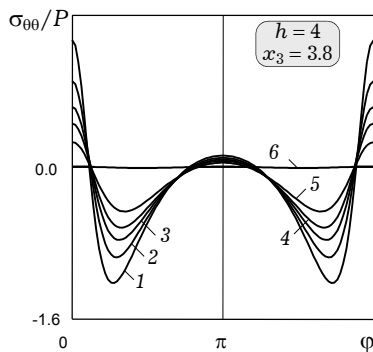


Рис. 7

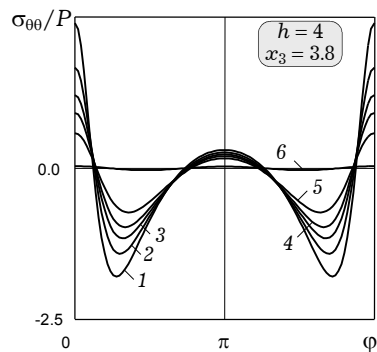


Рис. 8

На рис. 9–14 приведены эпюры распределения относительного окружного напряжения  $\sigma_{\theta\theta}/P$  в случае, когда радиус сквозного отверстия равен единице ( $R_{11} = R_{12} = R = 1$ ), а включение представляет собой эллипс ( $R_{21} = 1, R_{22} = 0.5$ ) при  $h = 2$  (рис. 9, 11, 12) и  $h = 4$  (рис. 10, 13, 14).

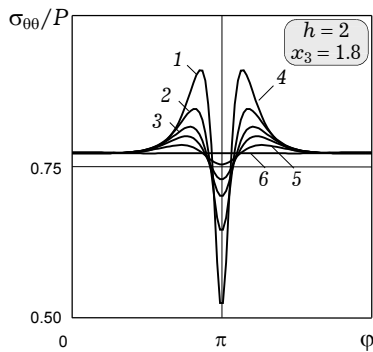


Рис. 9

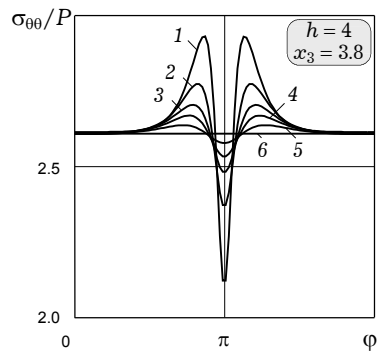


Рис. 10

На рис. 9, 10 приведены эпюры распределения относительного окружного напряжения  $\sigma_{\theta\theta}/P$  по контуру, ограничивающему отверстие в плоскости  $x_3 = 1.8$  (рис. 9) и  $x_3 = 3.8$  (рис. 10). Кривые 1–6 на рис. 9, 10 соответствуют значениям  $l_x/R = 2.25, 2.5, 2.75, 3.00, 3.50, 12.00$ .



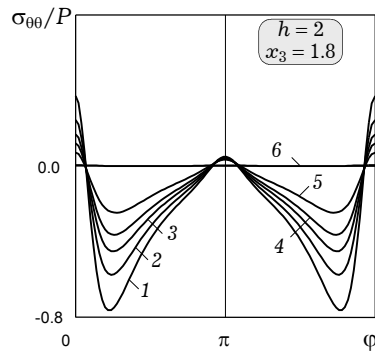


Рис. 11

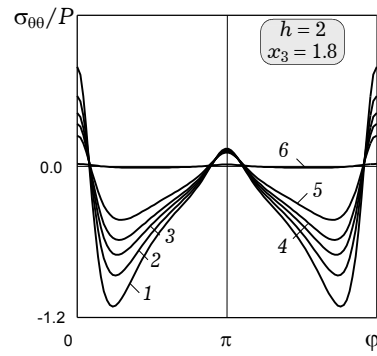


Рис. 12

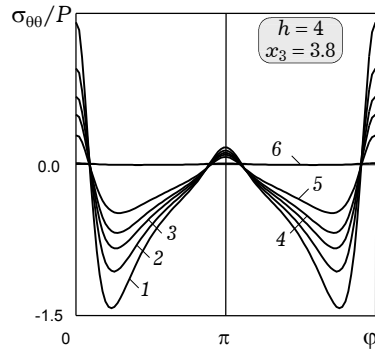


Рис. 13

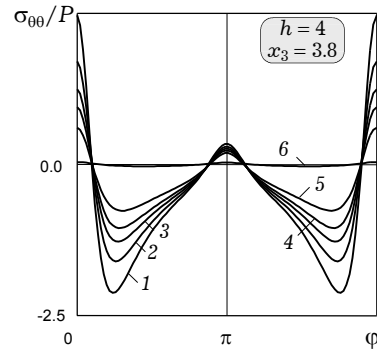


Рис. 14

На рис. 11–14 приведены эпюры распределения относительного окружного напряжения  $\sigma_{00}/P$  по контуру, ограничивающему включение в плоскости  $x_3 = 1.8$  (рис. 11, 12) и  $x_3 = 3.8$  (рис. 13, 14) со стороны включения (рис. 11, 13) и со стороны слоя (рис. 12, 14). Кривые 1–6 на рис. 11–14 соответствуют значениям  $l_x/R = 2.25, 2.5, 2.75, 3.00, 3.50, 17.00$ .

**Выводы.** По результатам численного исследования можно сделать следующие выводы:

- относительное окружное напряжение  $\sigma_{00}/P$  на контуре сквозного отверстия принимает минимальное значение в точке  $\varphi_1 = \pi$ . Таким образом, за счет присутствия в слое включения из другого пьезокерамического материала наблюдается эффект упрочнения в ближайшей к включению точке контура сквозного отверстия. Эффект присутствия в слое включения перестает сказываться при  $l_x/R = 12.00$ . Относительное окружное напряжение  $\sigma_{00}/P$  на контуре сквозного отверстия в этом случае становится постоянным;

- при увеличении толщины слоя происходит рост относительного окружного напряжения  $\sigma_{00}/P$  на контуре сквозного отверстия;

- относительное окружное напряжение  $\sigma_{00}/P$  на контуре включения принимает максимальное значение в точке  $\varphi_2 = 0$  как со стороны включения, так и со стороны слоя;

- эффект присутствия в слое сквозного отверстия перестает сказываться при  $l_x/R = 17.00$ , в этом случае относительное окружное напряжение  $\sigma_{00}/P$  на контуре включения как со стороны слоя, так и со стороны включения становится равным нулю.

Таким образом, с уменьшением расстояния между центрами отверстия и включения происходит рост взаимного влияния двух концентраторов напряжений друг на друга.

1. Алтухов Е. В., Косова В. В. Смешанная краевая задача для трансформированного слоя с полостью // Теорет. и прикл. механика. – 1995. – Вып. 25. – С. 8–15.
2. Андрейкив А. Е. Пространственные задачи теории трещин. – Киев: Наук. думка, 1982. – 345 с.
3. Буланов Г. С., Шалдырван В. А. Решение смешанной задачи о концентрации напряжений в толстой пластине // Теорет. и прикл. механика. – 1984. – Вып. 15. С. 5–9.
4. Григолюк Э. И., Ковалев Ю. Д., Фильштинский Л. А. Изгиб полуслоя, ослабленного сквозным отверстием // Докл. РАН. – 1995. – 345, № 1. – С. 54–56.
5. Гринченко В. Т., Улитко А. Ф., Шульга Н. А. Электроупругость. – Киев: Наук. думка, 1989. – 280 с. – (Механика связанных полей в элементах конструкций: В 5 т. – Т. 5).
6. Жиров В. Е., Устинов Ю. А. Некоторые задачи теории плит из электроупругого материала // Тепловые напряжения в элементах конструкций. – 1977. – Вып. 17. – С. 62–67.
7. Кит Г. С., Хай М. В. Метод потенциалов в трехмерных задачах термоупругости тел с трещинами. – Киев: Наук. думка, 1989. – 288 с.
8. Космодамианский А. С., Шалдырван В. А. Толстые многосвязные пластины. – Киев: Наук. думка, 1978. – 237 с.
9. Улитко А. Ф. Метод собственных векторных функций в пространственных задачах теории упругости. – Киев: Наук. думка, 1979. – 261 с.
10. Фильштинский Л. А. Периодические решения теории упругости для цилиндра в  $\mathbb{R}^3$  // Теорет. и прикл. механика. – 1990. – Вып. 21. – С. 13–20.
11. Фильштинский Л. А., Ковалев Ю. Д. Концентрация механических напряжений у отверстия в пьезокерамическом слое // Механика композитных материалов. – 2002. – 38, № 2. – С. 183–188.

#### **ЗГИН П'ЄЗОКЕРАМІЧНОГО НЕОДНОРІДНОГО ШАРУ ПРИ КОВЗНОМУ ЗАЩЕМЛЕННІ ЙОГО ТОРЦІВ**

*Досліджується електропружний стан неоднорідного п'єзокерамічного шару при ковзному защемленні його торців у випадку згину. Крайова задача зведена до системи, яка складається з  $12k$ ,  $k = 1, 2, \dots$ , інтегро-диференціальних рівнянь. Отримано вирази для величин, що характеризують напружений стан неоднорідного шару. Наведено результати розрахунків напружень.*

#### **BEND OF INHOMOGENEOUS LAYER WITH SLIDING SEAL OF ITS ENDS**

*The electroelastic state of inhomogeneous piezoceramic layer with sliding seal of its ends in the case of bend is studied. The boundary-value problem is reduced to a system, which consists of  $12k$ ,  $k = 1, 2, \dots$ , integral and differential equations. The expressions for stresses, which characterize the stress state of inhomogeneous layer, are found. The results of calculations of characteristic stresses are presented.*

Сумск. гос. ун-т, Сумы

Получено  
04.10.05